

М. Т. Соломко¹, Б. Б. Круліковський², Я. М. Николайчук³

¹Рівненський державний гуманітарний університет,
кафедра ІКТ та МВІ,

²Національний університет водного господарства та природокористування, м. Рівне,
кафедра обчислювальної техніки,

³Тернопільський національний економічний університет,
кафедра спеціалізованих комп'ютерних систем

ПАРАЛЕЛЬНИЙ СУМАТОР БЕЗ ПЕРЕНЕСЕННЯ НА ЛОГІЧНИХ ЕЛЕМЕНТАХ XAND

© Соломко М. Т., Круліковський Б. Б., Николайчук Я. М., 2016

Розглянуто обчислення сигналів суми в паралельних схемах суматорів без перенесення на логічних елементах XAND. Подана структура логічного елемента XAND, синтаксис його функції, схема паралельного суматора без перенесення на логічних елементах XAND. Продемонстрована таблиця істинності для перевірки логіки схеми суматора.

Ключові слова: суматор, паралельний суматор без перенесення, додавання кодів, коди поля Галуа, логічний елемент XAND.

PARALLEL ADDER WITHOUT CARRY BASED ON XAND GATES

© Solomko M., Crulikovskyi B., Nykolaichuk Ya., 2015

In the article the calculation of the amount of signals in parallel schemes of adders without transferring by the logical elements XAND. The composition of logic element XAND is represented and the syntax of its function. The scheme of parallel adder without transferring by the logic elements XAND is represented. Demonstrated a truth table to check logic schemes of adder.

Key words: adder, parallel adder without transfer, adding codes, Galois field codes, logic element XAND.

Вступ

Обробка інформації цифровими методами зводиться до послідовності дій (операцій) над числами. У цифровій апаратурі основним блоком, в якому безпосередньо виконується оброблення інформації, є процесорний пристрій.

Розвиток теорії універсальних та спеціалізованих процесорів тісно пов'язаний з відповідним розвитком двійкової системи числення, тобто теоретико-числового базису Радемахера [5]. Сучасні досягнення у створенні високопродуктивних процесорів ґрунтуються на розробленнях теорії паралельних обчислень.

Зростання вимог до швидкодії процесорів стимулюють дослідження у застосуванні інших, відмінних від базису Радемахера, теоретико-числових базисів (ТЧБ). Наприклад, відомі успішні застосування базису Крестенсона, що породжує систему числення залишкових класів (СЗК), базису Галуа, що породжує коди поля та систему числення Галуа, а також базису Уолша, що використовується для створення комунікаційних та сигнальних процесорів до застосування їх у комп'ютерних мережах [1, 3, 7, 8].

Перенесення одиниці до старшого розряду під час виконання операції додавання у базисі Радемахера призводить до зниження швидкодії встановлення сталих значень сигналів на виходах S_i однорозрядних суматорів. Тривалість перехідного процесу в суматорі $T_{з.с}$ залежить від розрядності чисел n та часу затримки сигналів на кожному розряді суматора $t_{з.р}$.

$$T_{з.с} = n \times t_{з.р}$$

Максимальним час операції додавання стає тоді, коли перенесення, що виникло у першому розряді, проходить всі інші розряди (наприклад, у разі складання кодів 11...11 і 00...01).

Суматори з наскрізним перенесенням є практичним пристроєм для реалізації додавання з порівняно невеликою довжиною слова. У більшості настільних комп'ютерів використовується довжина слова 32 біти, сервер для обробки даних зазвичай потребує 64 біти; високопродуктивні мейнфреми, суперкомп'ютери або мультимедійні процесори, подібні до Sony PlayStation 2, повинні забезпечувати обробку даних розрядністю до 128 бітів.

Аналіз публікацій і окреслення проблеми

Значний внесок у розвиток теорії арифметичних операцій та архітектури суматорів у базисі Галуа зробили українські вчені: В. П. Тарасенко, О. К. Тесленко, А. І. Роговенко, Я. М. Николайчук, О. М. Заставний, П. В. Гуменний [6, 11]. Теоретичні питання та проектування логіки суматорів у ТЧБ Радемахера розглянуто у роботах Н. Воробйова [2], Рабаї Жана М. [9].

Оптимізація схеми суматора проводиться або на рівні логічних елементів (наприклад, з використанням у ланцюгу перенесення найбільш швидкодіючих елементів, зокрема, логічний елемент І-АБО-НІ має менший час затримки, порівняно з логічним елементом І-АБО, якщо останній реалізується структурою І-АБО-НІ-НІ), або на рівні схеми (наприклад, застосовують структурні методи прискорення проходження сигналу перенесення). Доволі часто задача оптимізації логічної схеми упродовж усього існування ЕОМ розв'язувалася емпірично. Тепер оптимізацію схеми до певної міри вирішують програмні засоби, наприклад безкоштовна програма Logic Friday здійснює оптимізацію схеми у ряді базисів – з асортименту доступних елементів [12].

Продуктивність суматора лінійно залежить від величини його розрядності, тому, розробляючи швидкодіючі суматори, доцільно дослідити залежність швидкодії встановлення сталих значень сигналів на виходах S_i однорозрядних суматорів від складності та глибини схеми суматора з метою вибору оптимальних рішень.

Метою роботи є побудова багаторозрядного паралельного суматора без перенесення на логічних елементах XAND.

1. Логічний елемент XAND

Таблиця істинності логічного елемента XAND «Виключаюче І» подібна до таблиці істинності логічного елемента І, за винятком одного випадку (табл. 1).

Таблиця 1
Таблиця істинності логічного елемента XAND

A	B	XAND
0	0	1
0	1	0
1	0	0
1	1	1

Табл. 1 реалізує також логічний елемент XNOR, скорочено NOR – виключаюче АБО-НІ (логічна операція) – заперечення альтернативної диз'юнкції.

Структуру логічного елемента XAND і його умовне графічне зображення подано на рис. 1.

Синтаксис функції XAND:

$$A \text{ XAND } B = \neg A \vee B \wedge A \vee \neg B.$$

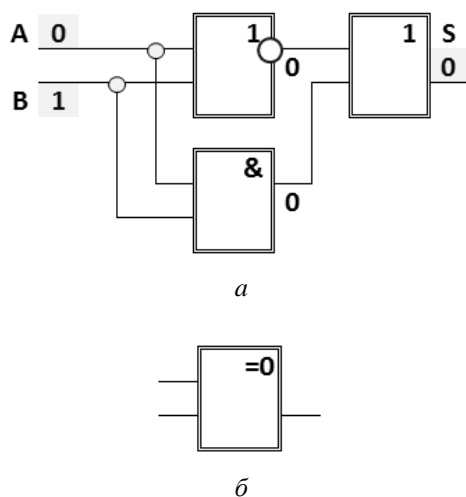


Рис. 1. Структура логічного елемента XAND (а)
і його умовне графічне зображення (б)

Операцію XAND позначимо значком – \boxplus . Приклади операції XAND:

$$\begin{aligned} 0 \boxplus 0 &= 1 \\ 0 \boxplus 1 &= 0 \\ 1 \boxplus 0 &= 0 \\ 1 \boxplus 1 &= 1 \end{aligned}$$

На логічних елементах XAND можлива побудова повного суматора (рис. 2).

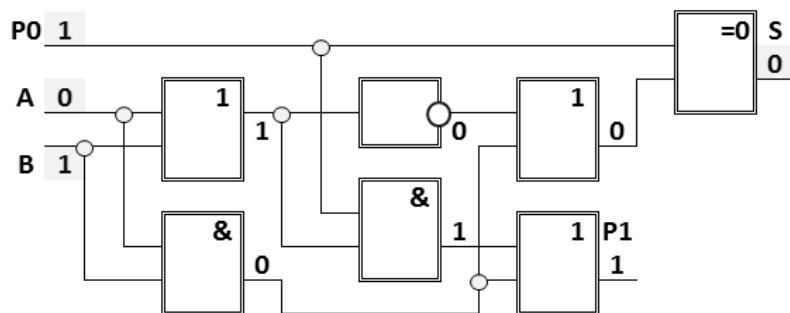


Рис. 2. Повний суматор на логічних елементах XAND

Логічні функції сигналів суми S і перенесення P₁ для схеми на рис. 2 у ДДНФ мають вигляд:

$$S = \bar{a}\bar{b}c + \bar{a}b\bar{c} + a\bar{b}\bar{c} + abc$$

$$P_1 = \bar{a}bc + a\bar{b}c + ab\bar{c} + abc.$$

Мінімальна форма:

$$S = \bar{a}\bar{b}c + \bar{a}b\bar{c} + a\bar{b}\bar{c} + abc$$

$$P_1 = ab + ac + bc$$

або

$$S = c(\bar{a}\bar{b} + ab) + \bar{c}(\bar{a}b + a\bar{b})$$

$$P_1 = c(b + a) + ab.$$

Таблиця 2

Таблиця істинності
повного суматора

Вхід			Вихід	
A	B	P0	S	P1
0	0	0	0	0
0	0	1	1	0
0	1	0	1	0
0	1	1	0	1
1	0	0	1	0
1	0	1	0	1
1	1	0	0	1
1	1	1	1	1

Вихідні сигнали схеми на рис. 2 задовольняють таблицю істинності повного суматора (табл. 2).

Суматор на рис. 2 складається з десяти логічних елементів, час обчислення перенесення $P_1 - 3dt$, глибина схеми – шість елементів.

2. Коди Галуа

Коди Галуа отримують за допомогою рекурсії, де наступний елемент поля у кільці $GF\left(\frac{m}{n}\right)$ подається за допомогою логічного виразу відповідної операції над попередніми елементами. Кожна з 2^{n-1} n -розрядна ненульова кодова комбінація послідовності Галуа є результатом циклічного зсуву вихідного ненульового кодового фрагмента з ключем $x_j = x_{i-n} \oplus x_{i-1}$, вони мають однакову вагу, що характеризує їх як еквідистантні або симплексні.

Наприклад, у полі Галуа $GF\left(\frac{4}{2}\right)$ із породжуючим вектором 10011 і ключем $x_j = x_{i-4} \oplus x_{i-1}$ рекурсивна послідовність кодових елементів матиме вигляд:

$$1\ 1\ 1\ 1\ 0\ 1\ 0\ 1\ 1\ 0\ 0\ 1\ 0\ 0\ 0 \quad (1)$$

Послідовність (1) подає чотирирозрядні коди Галуа, зсунуті один відносно одного на один біт, які мають значення: $1111_G = 0_{10}$, $1110_G = 1_{10}$, $1101_G = 2_{10}$, $1010_G = 3_{10}$, $0101_G = 4_{10}$ і т. д. [4]. Складена у такий спосіб система кодів повинна мати властивості кільця, що дає, зокрема, утворення початкового коду (1111) в разі операції зсуву останнього коду (0111) цієї системи на один біт.

Для заданої початкової послідовності, наприклад, x_1, x_2, x_3, x_4 з ключем $x_j = x_{i-4} \oplus x_{i-1}$ усі інші значення бітів послідовності (1) можна отримати через початкові:

$$\begin{aligned}
 x_5 &= x_1 \oplus x_4 & x_6 &= x_2 \oplus x_5 = x_1 \oplus x_2 \oplus x_4 \\
 x_7 &= x_3 \oplus x_6 = x_1 \oplus x_2 \oplus x_3 \oplus x_4 & x_8 &= x_4 \oplus x_7 = x_1 \oplus x_2 \oplus x_3 \\
 x_9 &= x_5 \oplus x_8 = x_2 \oplus x_3 \oplus x_4 & x_{10} &= x_6 \oplus x_9 = x_1 \oplus x_3 \\
 x_{11} &= x_7 \oplus x_{10} = x_2 \oplus x_4 & x_{12} &= x_8 \oplus x_{11} = x_1 \oplus x_3 \oplus x_4 \\
 x_{13} &= x_9 \oplus x_{12} = x_1 \oplus x_2 & x_{14} &= x_{10} \oplus x_{13} = x_2 \oplus x_3 \\
 x_{15} &= x_{11} \oplus x_{14} = x_3 \oplus x_4 & x_{16} &= x_{12} \oplus x_{15} = x_1 \oplus x_3 \oplus x_4 \oplus x_3 \oplus x_4 = x_1. \\
 x_{17} &= x_{13} \oplus x_{16} = x_1 \oplus x_2 \oplus x_1 = x_2. & x_{18} &= x_{14} \oplus x_{17} = x_2 \oplus x_3 \oplus x_2 = x_3. \\
 x_{19} &= x_{15} \oplus x_{18} = x_3 \oplus x_4 \oplus x_3 = x_4. & x_{20} &= x_{16} \oplus x_{19} = x_1 \oplus x_4.
 \end{aligned} \quad (2)$$

Під час виконання процедури додавання двох кодів $A(x)$ і $D(x)$ над кодом $A(x)$ здійснюються дії, визначені залежностями (2) коду $D(x)$. Залежності коду $D(x)$ задають своєрідну програмну процедуру (вектор) над кодом $A(x)$ для обчислення розрядів суми $C(x)$ (див. п. 4).

3. Кодування чисел за допомогою логічної операції XAND

Операція XAND дає змогу будувати коди, починаючи з нульового початкового фрагмента рекурентної послідовності. Отже, кожна з $2^n - 1$ n -розрядна кодова комбінація послідовності буде результатом циклічного зсуву, починаючи з вихідного нульового кодового фрагмента з ключем $x_j = x_{i-n} \boxplus x_{i-1}$.

Наприклад, для нульового вихідного фрагмента – 0000 і ключа $x_j = x_{i-4} \boxplus x_{i-1}$ рекурсивна послідовність кодових елементів матиме вигляд:

$$000010100110111 \quad (3)$$

Послідовність (3) подає чотирирозрядні коди, зсунуті один відносно одного на один біт, які мають значення: $0000_{\text{XAND}} = 0_{10}$, $0001_{\text{XAND}} = 1_{10}$, $0010_{\text{XAND}} = 2_{10}$, $0101_{\text{XAND}} = 3_{10}$, $1010_{\text{XAND}} = 4_{10}$ і т. д. Складена у такий спосіб система кодів повинна володіти властивостями кільця, що дає, зокрема, утворення початкового коду (0000) за операції зсуву останнього коду (1000) системи на один біт.

Аналогічно послідовності Галуа (1), для заданої початкової послідовності, наприклад, x_1, x_2, x_3, x_4 з ключем $x_j = x_{i-4} \boxplus x_{i-1}$ усі інші значення бітів послідовності (3) можна отримати через початкові:

$$\begin{aligned} x_5 &= x_1 \boxplus x_4 & x_6 &= x_2 \boxplus x_5 = x_1 \boxplus x_2 \boxplus x_4 \\ x_7 &= x_3 \boxplus x_6 = x_1 \boxplus x_2 \boxplus x_3 \boxplus x_4 & x_8 &= x_4 \boxplus x_7 = x_1 \boxplus x_2 \boxplus x_3 \boxplus 1 \end{aligned}$$

Поява одиниці у виразі для x_8 зумовлена операцією \boxplus над змінними x_4 .

$$x_4 \boxplus x_4 = 1$$

Твердження 1. Операція \boxplus одиниці до попередньої змінної не змінює значення попередньої змінної.

Для прикладу розглянемо дві операції \boxplus одиниці:

$$0 \boxplus 1 = 0 \quad (4)$$

$$1 \boxplus 1 = 1 \quad (5)$$

Вирази (4)–(5) демонструють, що операція \boxplus одиниці до попередньої змінної не змінює значення попередньої змінної, тому у виразі для x_8 та в інших подібних виразах одиницю можна опустити. У підсумку будуть отримані аналогічні залежності (2) для послідовності (3) за винятком логічної операції. Операція \oplus буде замінена на операцію \boxplus .

Аналогічно кодам Галуа під час виконання процедури додавання двох кодів $A(x)_{\text{XAND}}$ і $D(x)_{\text{XAND}}$ над кодом $A(x)_{\text{XAND}}$ здійснюються дії, визначені залежностями (6) для коду $D(x)_{\text{XAND}}$. Залежності коду $D(x)_{\text{XAND}}$ задають своєрідну програмну процедуру (вектор) над кодом $A(x)_{\text{XAND}}$ для обчислення розрядів суми $C(x)_{\text{XAND}}$ (див. п. 4).

Враховуючи вирази для бітів (6), послідовність (3) перепишемо так:

$$x_1, x_2, x_3, x_4, x_1 \boxplus x_4, x_1 \boxplus x_2 \boxplus x_4, \dots, x_1 \boxplus x_2, x_2 \boxplus x_3, x_3 \boxplus x_4, x_{16}, x_{17}, x_{18}, x_{19} \quad (7)$$

За допомогою зсуву на один біт на послідовності (7) можна отримати 2^n чотирирозрядні коди. Однак коди $(x_1, x_2, x_3, x_4), (x_{16}, x_{17}, x_{18}, x_{19})$ матимуть однакові значення бітів, тому різних кодів залишається $2^n - 1$. Застосування однакових кодів з різних позицій рекурентної послідовності (7) для виконання арифметичних операцій з багаторозрядними числами можливе за умови використання процедури перенесення.

4. Арифметична операція додавання кодів, утворених за допомогою операції XAND

Операція додавання кодів $A(x)$ і $D(x)$ полягає у рекурсивному зсуві на послідовності (3), починаючи з вихідної позиції коду $A(x)$, на кількість дискретних позицій, визначених десятковим еквівалентом коду $D(x)$. Отже, реалізація вказаної операції додавання зводиться до одночасного паралельного взаємно незалежного формування кожного біта результату обчислення як суми за операцією \boxplus без необхідності виконання операцій міжрозрядних перенесень. Зазначена послідовність дій призводить до збільшення продуктивності обчислень пропорційно до розрядності слова даних порівняно з двійковою системою числення. Обчислення кожного результату операції здійснюється за один такт. Процес обчислення інваріантний розрядності слова даних.

Для виконання процедури додавання коди-доданки необхідно подати за допомогою залежностей (6).

Приклад 1. Залежності для коду $A(x) - 1010_{XAND} (4_{10})$, коду $D(x) - 1001_{XAND} (6_{10})$, коду суми $C(x) - 1011_{XAND} (10_{10})$ подані на рис. 3.

$$\begin{array}{ccc}
 A(x) - 4_{10} & D(x) - 6_{10} & C(x) - 10_{10} \\
 x_5 = x_1 \boxplus x_4 & x_7 = x_1 \boxplus x_2 \boxplus x_3 \boxplus x_4 & x_{11} = x_2 \boxplus x_4 \\
 x_6 = x_1 \boxplus x_2 \boxplus x_4 & x_8 = x_1 \boxplus x_2 \boxplus x_3 & x_{12} = x_1 \boxplus x_3 \boxplus x_4 \\
 x_7 = x_1 \boxplus x_2 \boxplus x_3 \boxplus x_4 & x_9 = x_2 \boxplus x_3 \boxplus x_4 & x_{13} = x_1 \boxplus x_2 \\
 x_8 = x_1 \boxplus x_2 \boxplus x_3 & x_{10} = x_1 \boxplus x_3 & x_{14} = x_2 \boxplus x_3 \\
 a & б & в
 \end{array}$$

Рис. 3. Вирази для розрядів кодів:
 $a - A(x) - 1010_{XAND} (4_{10})$; $б - D(x) - 1001_{XAND} (6_{10})$;
 $в - C(x) - 1011_{XAND} (10_{10})$, подані залежностями (6)

Під час виконання процедури додавання над кодом $A(x)$ (рис. 3, а) здійснюються дії, визначені залежностями (координатами) коду $D(x)$ на рекурсивній послідовності (3), які відповідають значенню коду $D(x)$ (рис. 3, б). Залежності коду $D(x)$ (рис. 3, б) задають своєрідну програмну процедуру (вектор) над кодом $A(x)$ для обчислення кожного розряду суми $C(x)$ (рис. 3, в).

Зазначена програмна процедура (вектор) подана на рис. 4.

$$\begin{array}{cccc}
 1\text{-й розряд} & 2\text{-й розряд} & 3\text{-й розряд} & 4\text{-й розряд} \\
 D'(x) => & x_1 \boxplus x_2 \boxplus x_3 \boxplus x_4 & x_1 \boxplus x_2 \boxplus x_3 & x_2 \boxplus x_3 \boxplus x_4 & x_1 \boxplus x_3
 \end{array}$$

Рис. 4. Програмна процедура (вектор) $D'(x)$ над кодом $A(x)$

Згідно з програмою $D'(x)$ в обчисленні першого розряду суми $C(x)$ повинні взяти участь всі чотири залежності коду $A(x)$ (див. рис. 4), для обчислення суми $C(x)$ у другому розряді повинні взяти участь перші три залежності коду $A(x)$; для обчислення суми $C(x)$ у третьому розряді повинні взяти участь залежності другого, третього та четвертого розрядів коду $A(x)$; для обчислення суми $C(x)$ у четвертому розряді повинні взяти участь залежності першого та третього розрядів коду $A(x)$ (див. рис. 4).

Зазначену програмну процедуру $D'(x)$ над кодом $A(x)$ можна подати таблицею (табл. 3). У першому рядку табл. 3 записані залежності коду $A(x)$ (див. рис. 3, а) для першого розряду суми $C(x)$ згідно з програмною процедурою $D'(x)$ (рис. 4) для першого розряду. У другому рядку табл. 3 записані залежності коду $A(x)$ (див. рис. 3, а) для другого розряду суми $C(x)$ згідно з програмною процедурою $D'(x)$ (рис. 4) для другого розряду і т. д.

Таблиця 3

Обчислення над кодом $A(x)$, що визначені програмною процедурою $D'(x)$

		$x_5(A)$		$x_6(A)$		$x_7(A)$		$x_8(A)$		Сума кодів
x_7	=	$x_1 \boxplus x_4$	\boxplus	$x_1 \boxplus x_2 \boxplus x_4$	\boxplus	$x_1 \boxplus x_2 \boxplus x_3 \boxplus x_4$	\boxplus	$x_1 \boxplus x_2 \boxplus x_3$	=	$x_2 \boxplus x_4$
x_8	=	$x_1 \boxplus x_4$	\boxplus	$x_1 \boxplus x_2 \boxplus x_4$	\boxplus	$x_1 \boxplus x_2 \boxplus x_3 \boxplus x_4$			=	$x_1 \boxplus x_3 \boxplus x_4$
x_9	=			$x_1 \boxplus x_2 \boxplus x_4$	\boxplus	$x_1 \boxplus x_2 \boxplus x_3 \boxplus x_4$	\boxplus	$x_1 \boxplus x_2 \boxplus x_3$	=	$x_1 \boxplus x_2$
x_{10}	=	$x_1 \boxplus x_4$			\boxplus	$x_1 \boxplus x_2 \boxplus x_3 \boxplus x_4$			=	$x_2 \boxplus x_3$

Утворені одиниці під час обчислення коду суми $C(x)$ опускають (див. п. 3).

Індекси при x у крайній лівій колонці табл. 3 необхідно замінити відповідними індексами для суми $C(x) - x_{11} = x_2 \boxplus x_4, x_{12} = x_1 \boxplus x_3 \boxplus x_4, x_{13} = x_1 \boxplus x_2, x_{14} = x_2 \boxplus x_3$.

Приклад 2. Залежності для коду $A(x) - 0001_{XAND} (1_{10})$, коду $D(x) - 1100_{XAND} (13_{10})$, коду суми $C(x) - 1000_{XAND} (14_{10})$ подані на рис. 5.

$$\begin{array}{ccc}
 A(x) - 1_{10} & D(x) - 13_{10} & C(x) - 14_{10} \\
 x_2 = x_2 & x_{14} = x_2 \boxplus x_3 & x_{15} = x_3 \boxplus x_4 \\
 x_3 = x_3 & x_{15} = x_3 \boxplus x_4 & x_{16} = x_1 \\
 x_4 = x_4 & x_{16} = x_1 & x_{17} = x_2 \\
 x_5 = x_1 \boxplus x_4 & x_{17} = x_2 & x_{18} = x_3 \\
 a & б & в
 \end{array}$$

Рис. 5. Вирази для розрядів кодів:
 $a - A(x) - 0001_{XAND} (1_{10})$; $б - D(x) - 1100_{XAND} (13_{10})$;
 $в - C(x) - 1000_{XAND} (14_{10})$, подані залежностями (б)

Програмна процедура над кодом $A(x) - 0001$ подана на рис. 6

$$\begin{array}{cccc}
 1\text{-й розряд} & 2\text{-й розряд} & 3\text{-й розряд} & 4\text{-й розряд} \\
 D'(x) => & x_2 \boxplus x_3 & x_2 \boxplus x_4 & x_1 & x_2
 \end{array}$$

Рис. 6. Програмна процедура $D'(x)$ над кодом $A(x) - 0001$

Таблиця 4

Обчислення над кодом $A(x) - 0001$, визначені програмною процедурою $D'(x)$ (рис. 6)

		$x_2(A)$		$x_3(A)$		$x_4(A)$		$x_5(A)$		Сума кодів
x_{14}	=			x_3	\boxplus	x_4			=	$x_3 \boxplus x_4$
x_{15}	=					x_4	\boxplus	$x_1 \boxplus x_4$	=	x_1
x_{16}	=	x_2							=	x_2
x_{17}	=			x_3					=	x_3

Утворені одиниці під час обчислення коду суми $C(x)$ опускають (див. п. 3). Індеси при x у крайній лівій колонці табл. 4 необхідно замінити відповідними індексами для суми $C(x) - x_{15} = x_3 \boxplus x_4$, $x_{16} = x_1$, $x_{17} = x_2$, $x_{18} = x_3$.

Розглянута арифметична процедура додавання кодів, утворених за допомогою операції XAND, зберігається для всіх інших варіантів додавання. Для всіх можливих варіантів додавання чотирирозрядних кодів дані для коду $D(x)$ подано у табл. 5. Програмна процедура $D'(x)$ над будь-яким кодом $A(x)$, наприклад, для коду $D(x) - 0000$ буде мати вигляд:

$$\begin{array}{cccc}
 1\text{-й розряд} & 2\text{-й розряд} & 3\text{-й розряд} & 4\text{-й розряд} \\
 D'(x) => & x_1 & x_2 & x_3 & x_4
 \end{array}$$

Програмна процедура $D'(x)$ над кодом $A(x)$

№ з/п	Код XAND	Розряди кодів, утворених за допомогою операції XAND, виражені через перші змінні x_1, x_2, x_3, x_4 послідовності (3)			
		$D(x)$			
0	0000	x_1	x_2	x_3	x_4
1	0001	x_2	x_3	x_4	$x_1 \boxplus x_4$
2	0010	x_3	x_4	$x_1 \boxplus x_4$	$x_1 \boxplus x_2 \boxplus x_4$
3	0101	x_4	$x_1 \boxplus x_4$	$x_1 \boxplus x_2 \boxplus x_4$	$x_1 \boxplus x_2 \boxplus x_3 \boxplus x_4$
4	1010	$x_1 \boxplus x_4$	$x_1 \boxplus x_2 \boxplus x_4$	$x_1 \boxplus x_2 \boxplus x_3 \boxplus x_4$	$x_1 \boxplus x_2 \boxplus x_3$
5	0100	$x_1 \boxplus x_2 \boxplus x_4$	$x_1 \boxplus x_2 \boxplus x_3 \boxplus x_4$	$x_1 \boxplus x_2 \boxplus x_3$	$x_2 \boxplus x_3 \boxplus x_4$
6	1001	$x_1 \boxplus x_2 \boxplus x_3 \boxplus x_4$	$x_1 \boxplus x_2 \boxplus x_3$	$x_2 \boxplus x_3 \boxplus x_4$	$x_1 \boxplus x_3$
7	0011	$x_1 \boxplus x_2 \boxplus x_3$	$x_2 \boxplus x_3 \boxplus x_4$	$x_1 \boxplus x_3$	$x_2 \boxplus x_4$
8	0110	$x_2 \boxplus x_3 \boxplus x_4$	$x_1 \boxplus x_3$	$x_2 \boxplus x_4$	$x_1 \boxplus x_3 \boxplus x_4$
9	1101	$x_1 \boxplus x_3$	$x_2 \boxplus x_4$	$x_1 \boxplus x_3 \boxplus x_4$	$x_1 \boxplus x_2$
10	1011	$x_2 \boxplus x_4$	$x_1 \boxplus x_3 \boxplus x_4$	$x_1 \boxplus x_2$	$x_2 \boxplus x_3$
11	0111	$x_1 \boxplus x_3 \boxplus x_4$	$x_1 \boxplus x_2$	$x_2 \boxplus x_3$	$x_3 \boxplus x_4$
12	1110	$x_1 \boxplus x_2$	$x_2 \boxplus x_3$	$x_3 \boxplus x_4$	x_1
13	1100	$x_2 \boxplus x_3$	$x_3 \boxplus x_4$	x_1	x_2
14	1000	$x_3 \boxplus x_4$	x_1	x_2	x_3

Оскільки арифметичні операції в електронних схемах виконують над фізичними сигналами, подамо коди, утворені за допомогою операції XAND – $A(x)$, $D(x)$, $C(x)$, у бітах у бітовому представленні для кодів, утворених за допомогою операції XAND. Наявність у коді аргумента послідовності (3) позначається нулем, відсутність аргумента – одиницею. Наприклад, чотирирозрядний код $x_1 \boxplus x_4$ у бітовому представленні матиме вигляд – $0\boxplus1\boxplus1\boxplus0$, чотирирозрядний код $x_1 \boxplus x_2 \boxplus x_3 \boxplus x_4$ у бітовому представленні буде таким – $0\boxplus0\boxplus0\boxplus0$.

Розряди кодів $A(x)$ – 1010, $D(x)$ – 1001, $C(x)$ – 1011 прикладу 1 (рис. 3) у бітовому представленні матимуть вигляд

$$\begin{array}{lll}
 A(x) - 4_{10} & D(x) - 6_{10} & C(x) - 10_{10} \\
 x_5 = 0\boxplus1\boxplus1\boxplus0 & x_7 = 0\boxplus0\boxplus0\boxplus0 & x_{11} = 1\boxplus0\boxplus1\boxplus0 \\
 x_6 = 0\boxplus0\boxplus1\boxplus0 & x_8 = 0\boxplus0\boxplus0\boxplus1 & x_{12} = 0\boxplus1\boxplus0\boxplus0 \\
 x_7 = 0\boxplus0\boxplus0\boxplus0 & x_9 = 1\boxplus0\boxplus0\boxplus0 & x_{13} = 0\boxplus0\boxplus1\boxplus1 \\
 x_8 = 0\boxplus0\boxplus0\boxplus1 & x_{10} = 0\boxplus1\boxplus0\boxplus1 & x_{14} = 1\boxplus0\boxplus0\boxplus1 \\
 a & б & в
 \end{array}$$

Рис. 7. Залежності кодів:

a – $A(x)$; $б$ – $D(x)$; $в$ – $C(x)$ (рис. 3) у бітовому представленні

Над розрядами кодів $A(x)$, $C(x)$ (рис. 7) проведемо обчислення за операцією XAND. У підсумку отримуємо вирази для кодів $A(x)$, $C(x)$ у бітовому представленні (рис. 8). Код $D(x)$ подає програмну процедуру $D'(x)$ (вектор) над кодом $A(x)$.

$$\begin{array}{lll}
 A(x) - 4_{10} & D(x) - 6_{10} & C(x) - 10_{10} \\
 x_5 = 1 & x_7 = 0\boxplus0\boxplus0\boxplus0 & x_{11} = 1 \\
 x_6 = 0 & x_8 = 0\boxplus0\boxplus0\boxplus1 & x_{12} = 0 \\
 x_7 = 1 & x_9 = 1\boxplus0\boxplus0\boxplus0 & x_{13} = 1 \\
 x_8 = 0 & x_{10} = 0\boxplus1\boxplus0\boxplus1 & x_{14} = 1 \\
 a & б & в
 \end{array}$$

Рис. 8. Коди: a – $A(x)$; $б$ – $D(x)$; $в$ – $C(x)$ у бітовому представленні

Програмна процедура $D'(x)$ (рис. 9) над кодом $A(x)$ (рис. 8) матиме вигляд:

$$D'(x) \Rightarrow \begin{array}{cccc} \text{1-й розряд} & \text{2-й розряд} & \text{3-й розряд} & \text{4-й розряд} \\ 0 \boxplus 0 \boxplus 0 \boxplus 0 & 0 \boxplus 0 \boxplus 0 \boxplus 1 & 1 \boxplus 0 \boxplus 0 \boxplus 0 & 0 \boxplus 1 \boxplus 0 \boxplus 1 \end{array}$$

Рис. 9. Програмна процедура $D'(x)$ над кодом $A(x)$

Програмну процедуру $D'(x)$ (рис. 9) над кодом $A(x)$ можна подати таблицею (табл. 6). У клітинках табл. 6 записані значення бітів, відповідних розрядам коду $A(x)$.

Таблиця 6

Обчислення над кодом $A(x) - 1010$, визначені програмною процедурою $D'(x)$ (рис. 9)

		$x_5(A)$		$x_6(A)$		$x_7(A)$		$x_8(A)$		Сума кодів $C(x)$
x_7	=	1	\boxplus	0	\boxplus	1	\boxplus	0	=	1
x_8	=	1	\boxplus	0	\boxplus	1			=	0
x_9	=			0	\boxplus	1	\boxplus	0	=	1
x_{10}	=	1			\boxplus	1			=	1

Незаповнені клітинки табл. 6 відображають відсутність змінних у залежностях (6). Відсутні змінні у залежностях (6) для операції XAND за бітового представлення коду необхідно заповнити одиницями (табл. 7).

Таблиця 7

Обчислення над кодом $A(x) - 1010$, визначені програмною процедурою $D'(x)$ (рис. 9) із заповненими клітинками табл. 6

		$x_5(A)$		$x_6(A)$		$x_7(A)$		$x_8(A)$		Сума кодів $C(x)$
x_7	=	1	\boxplus	0	\boxplus	1	\boxplus	0	=	1
x_8	=	1	\boxplus	0	\boxplus	1	\boxplus	1	=	0
x_9	=	1	\boxplus	0	\boxplus	1	\boxplus	0	=	1
x_{10}	=	1	\boxplus	1	\boxplus	1	\boxplus	1	=	1

Обчислення у табл. 7 запишемо за допомогою рівнянь (14).

$$\begin{aligned} x_7 &= 1_A \boxplus 0_A \boxplus 1_A \boxplus 0_A = \mathbf{1} \\ x_8 &= 1_A \boxplus 0_A \boxplus 1_A \boxplus 1_A = \mathbf{0} \\ x_9 &= 1_A \boxplus 0_A \boxplus 1_A \boxplus 0_A = \mathbf{1} \\ x_{10} &= 1_A \boxplus 1_A \boxplus 1_A \boxplus 1_A = \mathbf{1} \end{aligned} \quad (14)$$

Отримані значення рівнянь $x_7=1$, $x_8=0$, $x_9=1$, $x_{10}=1$ відповідають розрядам коду суми – $C(x)$. Індекси при x необхідно замінити відповідними індексами для суми $C(x) - x_{11}=1$, $x_{12}=0$, $x_{13}=1$, $x_{14}=1$.

В обчисленнях (14) програмна процедура $D'(x)$ над кодом $A(x)$ існує неявно. Тому для іншого варіанта додавання кодів необхідно встановити нову програмну процедуру $D'(x)$ над кодом $A(x)$ і повторити розглянутий порядок додавання кодів.

Для автоматизації обчислень на рівні електронної схеми необхідно встановити явний зв'язок між бітами вектора $D'(x)$ і бітами коду $A(x)$. Для операції XAND такий зв'язок встановлюється за допомогою логічної функції АБО. У разі додавання багаторозрядних кодів можливі чотири варіанти взаємодії:

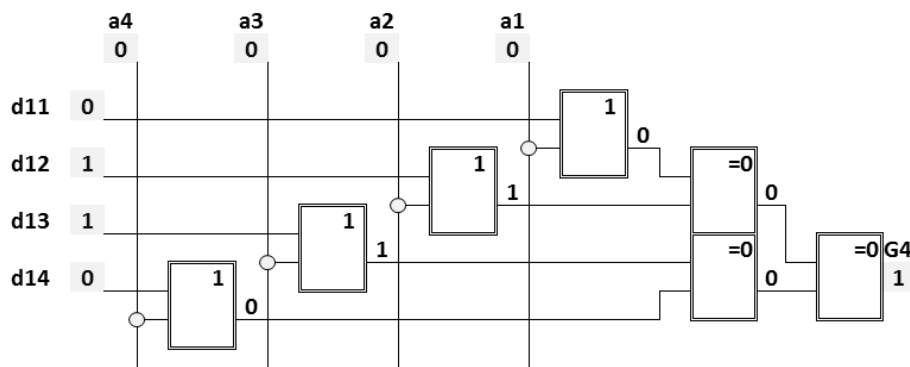
$$\begin{aligned} 0_D \vee 0_A, \\ 0_D \vee 1_A, \\ 1_D \vee 0_A, \\ 1_D \vee 1_A. \end{aligned}$$

Тоді рівняння (14) подають рівняннями (15), у яких код А записується вихідними значеннями бітів – 1010:

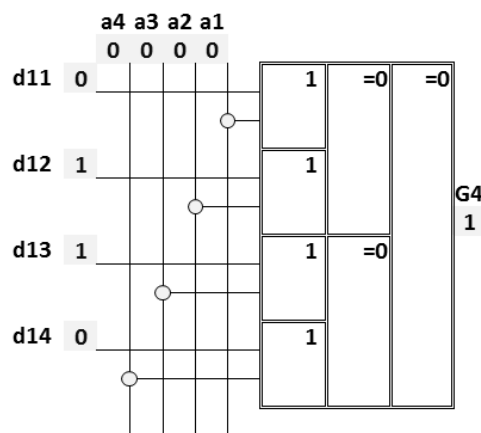
$$\begin{aligned}
 x_7 &= (0_D \vee 1_A) \boxplus (0_D \vee 0_A) \boxplus (0_D \vee 1_A) \boxplus (0_D \vee 0_A) = 1 \\
 x_8 &= (0_D \vee 1_A) \boxplus (0_D \vee 0_A) \boxplus (0_D \vee 1_A) \boxplus (1_D \vee 0_A) = 0 \\
 x_9 &= (1_D \vee 1_A) \boxplus (0_D \vee 0_A) \boxplus (0_D \vee 1_A) \boxplus (0_D \vee 0_A) = 1 \\
 x_{10} &= (0_D \vee 1_A) \boxplus (1_D \vee 0_A) \boxplus (0_D \vee 1_A) \boxplus (1_D \vee 0_A) = 1
 \end{aligned}
 \tag{15}$$

Отримані значення рівнянь $x_7=1, x_8=0, x_9=1, x_{10}=1$ (15) відповідають розрядам коду суми – $C(x)$. Індекси при x необхідно замінити відповідними індексами для суми $C(x)$ – $x_{11}=1, x_{12}=0, x_{13}=1, x_{14}=1$.

За рівняннями (15) синтезується комбінаційна схема суматора на логічних елементах XAND. Для першого розряду коду суми $C(x)$ x_{11} така схема матиме вигляд, як на рис. 10.



а



б

Рис. 10. Комбінаційна схема суматора для одного розряду суми $C(x)$ на логічних елементах XAND (а); схема суматора для одного розряду суми, подана складною логікою (б)

Суматор на рис. 10 складається з 16 логічних елементів, глибина схеми – сім елементів. Аналогічні схеми будують і для інших розрядів коду суми $C(x)$ – x_{12}, x_{13}, x_{14} .

Для всіх можливих варіантів додавання чотирирозрядного коду дані для коду $D(x)$ у бітовому представленні наведені у табл. 8. Програмна процедура $D'(x)$ над будь-яким кодом $A(x)$ у бітовому представленні, наприклад, для коду $D(x)$ – 0000 матиме вигляд:

$$\begin{array}{cccc}
 & \text{1-й розряд} & \text{2-й розряд} & \text{3-й розряд} & \text{4-й розряд} \\
 D'(x) => & 0\boxplus 1\boxplus 1\boxplus 1 & 1\boxplus 0\boxplus 1\boxplus 1 & 1\boxplus 1\boxplus 0\boxplus 1 & 1\boxplus 1\boxplus 1\boxplus 0
 \end{array}$$

Програмна процедура $D'(x)$ над кодом $A(x)$ у бітовому поданні

№ з/п	Код XAND	Розряди кодів XAND, виражені через перші змінні (6) x_1, x_2, x_3, x_4 послідовності (3) у бітовому представленні			
		$d_{11} d_{12} d_{13} d_{14}$	$d_{21} d_{22} d_{23} d_{24}$	$d_{31} d_{32} d_{33} d_{34}$	$d_{41} d_{42} d_{43} d_{44}$
	$D(x)$	$D'(x)$			
0	0000	011111	100111	111001	111100
1	0001	100111	111001	111100	011100
2	0010	111001	111100	011100	010010
3	0101	111100	011100	010010	010000
4	1010	011100	010010	010000	010001
5	0100	010010	010000	010001	110000
6	1001	010000	010001	110000	011001
7	0011	010001	110000	011001	110010
8	0110	110000	011001	110010	011000
9	1101	011001	110010	011000	010011
10	1011	110010	011000	010011	110001
11	0111	011000	010011	110001	111000
12	1110	010011	110001	111000	011111
13	1100	110001	111000	011111	110011
14	1000	111000	011111	110011	111001

У скороченому записі вектора $D'(x)$ знак операції опускають, наприклад:

	$D(x)$	$D'(x)$			
14	1000	1100	0111	1011	1101

5. Таблиця істинності паралельного суматора без перенесення на логічних елементах XAND

Діапазон додавання чисел паралельного суматора без перенесення на логічних елементах XAND становить:

$$x_D + y_D \leq 2^k - 2,$$

де k – розрядність числа. Кількість варіантів додавання багаторозрядного паралельного суматора без перенесення на логічних елементах XAND становить:

$$b = \sum_{n=0}^{2^k-1} 2^k - n - 1,$$

або

$$b = \sum_{n=1}^{2^k-1} n,$$

де k – розрядність числа [10].

Обчисливши значення b , визначаємо кількість рядків таблиці істинності суматора. Таблиця істинності чотирирозрядного паралельного суматора без перенесення на логічних елементах XAND буде вміщувати 120 рядків (табл. 9).

Таблиця істинності чотирирозрядного паралельного суматора без перенесення на логічних елементах XAND

Коди XAND				Коефіцієнти dij, що відповідають коду DXAND																CXAND							
AXAND				DXAND				d11	d12	d13	d14	d21	d22	d23	d24	d32	d33	d34	d41	d42	d43	d44	s1	s2	s3	s4	
a1	a2	a3	a4	d1	d2	d3	d4	9	10	11	12	13	14	15	16	17	18	19	20	21	22	23	24	25	26	27	28
1	2	3	4	5	6	7	8	9	10	11	12	13	14	15	16	17	18	19	20	21	22	23	24	25	26	27	28
0	0	0	0	0	0	0	0	0	1	1	1	1	0	1	1	1	1	0	1	1	1	1	0	0	0	0	0
0	0	0	0	0	0	0	1	1	0	1	1	1	1	0	1	1	1	1	0	0	1	1	0	0	0	0	1
0	0	0	0	0	0	1	0	1	1	0	1	1	1	1	0	0	1	1	0	0	0	1	0	0	0	1	0
0	0	0	0	0	1	0	1	1	1	1	0	0	1	1	0	0	0	1	0	0	0	0	0	0	1	0	1
0	0	0	0	1	0	1	0	0	1	1	0	0	0	1	0	0	0	0	0	0	0	0	0	1	1	0	1
0	0	0	0	0	1	0	0	0	0	0	1	0	0	0	0	0	0	0	0	1	1	0	0	0	0	1	0
0	0	0	0	1	0	0	1	0	0	0	0	0	0	0	1	1	0	0	0	0	1	0	1	0	0	0	1
0	0	0	0	0	1	1	0	1	0	0	0	0	0	1	0	1	1	0	1	0	0	1	0	0	1	1	0
0	0	0	0	1	1	0	1	1	1	0	1	0	0	1	0	0	0	1	1	1	0	1	1	1	1	1	1
0	0	0	0	0	1	1	1	1	0	1	1	1	0	0	1	1	1	0	0	0	1	1	1	1	1	1	0
0	0	0	0	1	1	0	0	1	0	0	1	1	1	0	0	0	1	1	1	1	1	0	1	1	1	1	0
0	0	0	0	1	0	0	0	0	1	1	0	0	0	1	1	1	0	1	1	1	1	1	1	1	1	0	0
0	0	0	1	0	0	0	0	0	1	1	1	1	1	0	1	1	1	1	0	1	1	1	1	1	1	0	0
0	0	0	1	0	1	0	1	1	1	1	0	0	1	1	0	0	0	1	0	0	0	0	0	0	1	0	1
0	0	0	1	1	0	1	0	0	1	1	0	0	0	1	0	0	0	0	0	0	0	0	1	0	1	0	0
0	0	0	1	1	0	0	0	0	0	0	0	0	0	0	1	1	0	0	0	1	1	0	1	0	0	1	1
0	0	0	1	0	1	1	0	1	0	0	0	0	1	1	0	0	0	1	0	0	1	0	0	1	1	0	1
0	0	0	1	1	1	1	0	0	0	1	1	1	0	0	1	1	1	0	0	0	1	1	1	1	1	1	0
0	0	0	1	1	1	0	0	1	0	0	1	1	1	0	0	0	1	1	1	1	0	1	1	1	1	0	0
0	0	1	0	0	0	0	0	0	1	1	1	1	0	1	1	1	1	0	1	1	1	1	0	0	0	1	0
0	0	1	0	0	0	1	0	1	1	1	1	1	1	0	1	0	0	1	1	0	0	1	1	0	1	0	1
0	0	1	0	0	1	0	1	1	1	1	0	0	1	1	0	0	0	1	0	0	0	0	0	0	0	1	0
0	0	1	0	1	0	1	0	0	1	1	0	0	0	0	0	0	0	0	0	0	0	0	0	0	0	0	1
0	0	1	0	1	0	0	1	0	0	0	0	0	0	0	1	0	0	0	0	0	0	1	0	1	1	0	1
0	0	1	0	1	1	0	0	1	0	0	0	0	0	0	1	1	0	0	0	0	0	1	0	1	1	1	0
0	0	1	0	1	1	1	0	0	0	1	0	0	0	1	0	0	0	0	0	0	0	0	0	0	0	0	1
0	0	1	0	1	1	1	1	0	0	1	1	1	0	0	1	1	1	0	0	0	0	1	1	1	1	0	0
0	1	0	1	0	0	0	0	0	1	1	1	1	0	1	1	1	1	0	1	1	0	1	1	0	1	0	1
0	1	0	1	0	0	1	0	1	1	0	1	1	1	1	0	0	1	1	0	0	0	1	0	0	1	0	0
0	1	0	1	0	1	0	1	1	1	1	0	0	1	1	0	0	0	0	0	0	0	0	0	0	0	0	1
0	1	0	1	1	0	1	0	0	0	0	0	0	0	0	0	0	0	0	0	0	0	0	0	0	0	0	1
0	1	0	1	1	0	0	1	0	0	0	0	0	0	0	0	0	0	0	0	0	0	0	0	0	0	0	1
0	1	0	1	1	1	0	0	0	0	0	0	0	0	0	0	0	0	0	0	0	0	0	0	0	0	0	1
0	1	0	1	0	0	1	0	0	0	0	0	0	0	0	0	0	0	0	0	0	0	0	0	0	0	0	1
0	1	0	1	0	0	0	1	0	0	0	0	0	0	0	0	0	0	0	0	0	0	0	0	0	0	0	1
0	1	0	1	0	0	0	1	0	0	0	0	0	0	0	0	0	0	0	0	0	0	0	0	0	0	0	1
0	1	0	1	0	0	0	1	0	0	0	0	0	0	0	0	0	0	0	0	0	0	0	0	0	0	0	1
0	1	0	1	0	0	0	1	0	0	0	0	0	0	0	0	0	0	0	0	0	0	0	0	0	0	0	1
0	1	0	1	0	0	0	1	0	0	0	0	0	0	0	0	0	0	0	0	0	0	0	0	0	0	0	1
0	1	0	1	0	0	0	1	0	0	0	0	0	0	0	0	0	0	0	0	0	0	0	0	0	0	0	1
0	1	0	1	0	0	0	1	0	0	0	0	0	0	0	0	0	0	0	0	0	0	0	0	0	0	0	1
0	1	0	1	0	0	0	1	0	0	0	0	0	0	0	0	0	0	0	0	0	0	0	0	0	0	0	1
0	1	0	1	0	0	0	1	0	0	0	0	0	0	0	0	0	0	0	0	0	0	0	0	0	0	0	1
0	1	0	1	0	0	0	1	0	0	0	0	0	0	0	0	0	0	0	0	0	0	0	0	0	0	0	1
0	1	0	1	0	0	0	1	0	0	0	0	0	0	0	0	0	0	0	0	0	0	0	0	0	0	0	1
0	1	0	1	0	0	0	1	0	0	0	0	0	0	0	0	0	0	0	0	0	0	0	0	0	0	0	1
0	1	0	1	0	0	0	1	0	0	0	0	0	0	0	0	0	0	0	0	0	0	0	0	0	0	0	1
0	1	0	1	0	0	0	1	0	0	0	0	0	0	0	0	0	0	0	0	0	0	0	0	0	0	0	1
0	1	0	1	0	0	0	1	0	0	0	0	0	0	0	0	0	0	0	0	0	0	0	0	0	0	0	1
0	1	0	1	0	0	0	1	0	0	0	0	0	0	0	0	0	0	0	0	0	0	0	0	0	0	0	1
0	1	0	1	0	0	0	1	0	0	0	0	0	0	0	0	0	0	0	0	0	0	0	0	0	0	0	1
0	1	0	1	0	0	0	1	0	0	0	0	0	0	0	0	0	0	0	0	0	0	0	0	0	0	0	1
0	1	0	1	0	0	0	1	0	0	0	0	0	0	0	0	0	0	0	0	0	0	0	0	0	0	0	1
0	1	0	1	0	0	0	1	0	0	0	0	0	0	0	0	0	0	0	0	0	0	0	0	0	0	0	1
0	1	0	1	0	0	0	1	0	0	0	0	0	0	0	0	0	0	0	0	0	0	0	0	0	0	0	1
0	1	0	1	0	0	0	1	0	0	0	0	0	0	0	0	0	0	0	0	0	0	0	0	0	0	0	1
0	1	0	1	0	0	0	1	0	0	0	0	0	0	0	0	0	0	0	0	0	0	0	0	0	0	0	1
0	1	0	1	0	0	0	1	0	0	0	0	0	0	0	0	0	0	0	0	0	0	0	0	0	0	0	1
0	1	0	1	0	0	0	1	0	0	0	0	0	0	0	0	0	0	0	0	0	0	0	0	0	0	0	1
0	1	0	1	0	0	0	1	0	0	0	0	0	0	0	0	0	0	0	0	0	0	0	0	0	0	0	1
0	1	0	1	0	0	0	1	0	0	0	0	0	0	0	0	0	0	0	0	0	0	0	0	0	0	0	1
0	1	0	1	0	0	0	1	0	0	0	0	0	0	0	0	0	0	0	0	0	0	0	0	0	0	0	1
0	1	0	1	0	0	0	1	0	0	0	0	0	0	0	0	0	0	0	0	0	0	0	0	0	0	0	1
0	1	0	1	0	0	0	1	0	0	0	0	0	0	0	0	0	0	0	0	0	0	0	0	0	0	0	1
0	1	0	1	0	0	0	1	0	0	0	0	0	0	0	0	0	0	0	0	0	0	0	0	0	0	0	1
0	1	0	1	0	0	0	1	0	0	0	0	0	0	0	0	0	0	0	0	0	0	0	0	0	0	0	1
0	1	0	1	0	0	0	1	0	0	0	0	0	0	0	0	0	0	0	0	0	0	0	0	0	0	0	1
0	1	0	1	0	0																						

коефіцієнтів d_{ji} логічного вектора для процедури додавання кодів, побудованих за допомогою операції XAND, є мультиплексор. Іншим рішенням може бути застосування пристрою пам'яті.

Діапазон додавання чисел паралельного суматора без перенесення на логічних елементах XAND становить:

$$x_D + y_D = < 2^k - 2,$$

де k – розрядність числа. Кількість варіантів додавання багаторозрядного паралельного суматора без перенесення на логічних елементах XAND дорівнює:

$$b = \sum_{n=1}^{2^k-1} n,$$

де k – розрядність числа.

Суматор на логічних елементах XAND дає змогу в процесі арифметичних операцій оперувати нульовим кодовим фрагментом.

1. Акушский И. Я. *Машинная арифметика в остаточных классах* [Текст] / И. Я. Акушский, Д. И. Юдицкий. – М.: Сов. радио, 1978. – 256.
2. Воробьев Н. *Сумматоры: определения, классификация, уравнения, структуры и применение* [Электронный ресурс]. – Режим доступа: <http://www.chipinfo.ru/literature/chipnews/200002/37.html>. – 10.04. 2015 р. – Загол. з екрана.
3. Круцкевич О. Д. *Матричні системи числення* [Текст] / О. Д. Круцкевич, Я. М. Николайчук // *Вісник Хмельницького національного університету*. – 2007. – № 3. – Т. 1. – С. 62–64.
4. Николайчук Я. М. *Коди поля Галуа: теорія та застосування: монографія* / Я. М. Николайчук – Тернопіль: ТзОВ Терно-Граф. – 2012. – 576 с.
5. Николайчук Я. М. *Теорія джерел інформації: монографія* / Ярослав Миколайович Николайчук. – 2-ге вид., виправлене – Тернопіль: ТзОВ Терно-Граф. – 2010. – 534 с.
6. Николайчук Я. М. *Теоретичні засади та принципи побудови арифметико-логічного пристрою на основі вертикально-інформаційної технології* [Текст] / Я. М. Николайчук О. М. Заставний, П. В. Гуменний // *Вісник Хмельницького національного університету*. – 2012. – № 2. – С. 190–196.
7. Николайчук Я. М. *Теоретичні основи побудови та структура спецпроцесорів в базисі Крестенсона* [Текст] / Я. М. Николайчук, О. І. Волинський, С. В. Кулина // *Вісник Хмельницького національного університету*. – Хмельницький. – 2007. – № 3. – Т. 1. – С. 85–90.
8. Николайчук Я. Н. *Програмные модели распараллеливания измерения, кодирования и передачи сообщений унитарным преобразованием СОК* [Текст] / Я. Н. Николайчук, Б. М. Шевчук, А. А. Попов // *Материалы VI Всесоюзной школы-семинара*. – Львов, 1987.
9. Рабаи Жан М. *Цифровые интегральные схемы. Методология проектирования* / Жан М. Рабаи, Ананта Чандракасан, Николич Бориож; перев. с англ. – 2-е изд. – М.: ООО «И. Д. Вильямс», 2007. – 912 с.
10. Соломко М. Т. *Оцінка часу переносу в суматорах з напівсуматором у першому розряді для ТЧБ Радемахера* [Текст] / М. Т. Соломко, П. В. Ольшанський // *Науковий вісник Чернівецького університету. Комп'ютерні системи та компоненти*. – 2014. – Т. 5. – Вип. 2. – С. 114–123.
11. Тарасенко В. П. *Частково-груповий перенос суматорів у скінченному полі GF(P)* [Електронний ресурс] / В. П. Тарасенко, О. К. Тесленко, А. І. Роговенко // *Вісник Національного університету "Львівська політехніка" "Комп'ютерні системи та мережі"*. – 2013. – № 773. – С. 118–125. – Режим доступу http://nbuv.gov.ua/jpdf/VNULPKSM_2013_773_21.pdf – 10.04. 2015 р. – Загол. з екрана.
12. *Logic Friday* [Електронний ресурс]. – Режим доступу: <http://sontrak.com/>. – 10.04. 2015 р. – Загол. з екрана.